



无人系统中的视觉SLAM

- 融合环境与载体信息的方法

2019年03月31日浙江大学第二届视觉SLAM研讨会

邹丹平副教授，感知与导航所



上海交通大学

SHANGHAI JIAO TONG UNIVERSITY



面向无人系统的视觉SLAM系统



- 近年来，基于视觉的位姿估算技术发展极快，在众多领域取得应用
- 无人系统 – 无人车、无人机、移动机器人



双目摄像头



背部鱼眼摄像头



面向无人系统的视觉SLAM 数据集



无人车 – Kitti (2012)

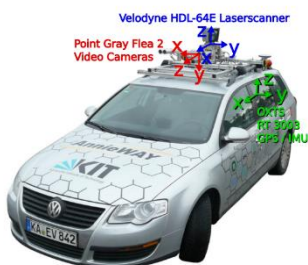
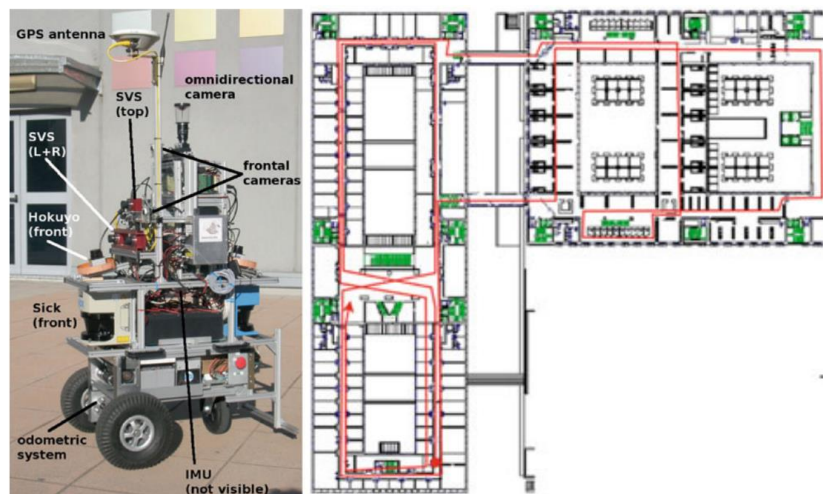
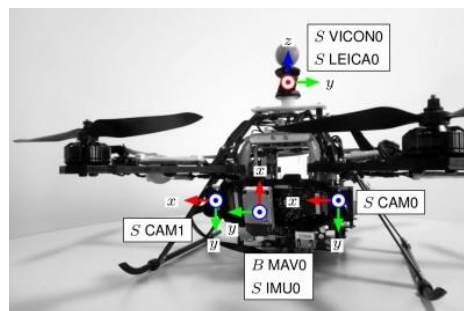


Fig. 1. Recording Platform. Our VW Passat station wagon is equipped with four video cameras (two color and two grayscale cameras), a rotating 3D laser scanner and a combined GPS/IMU inertial navigation system.

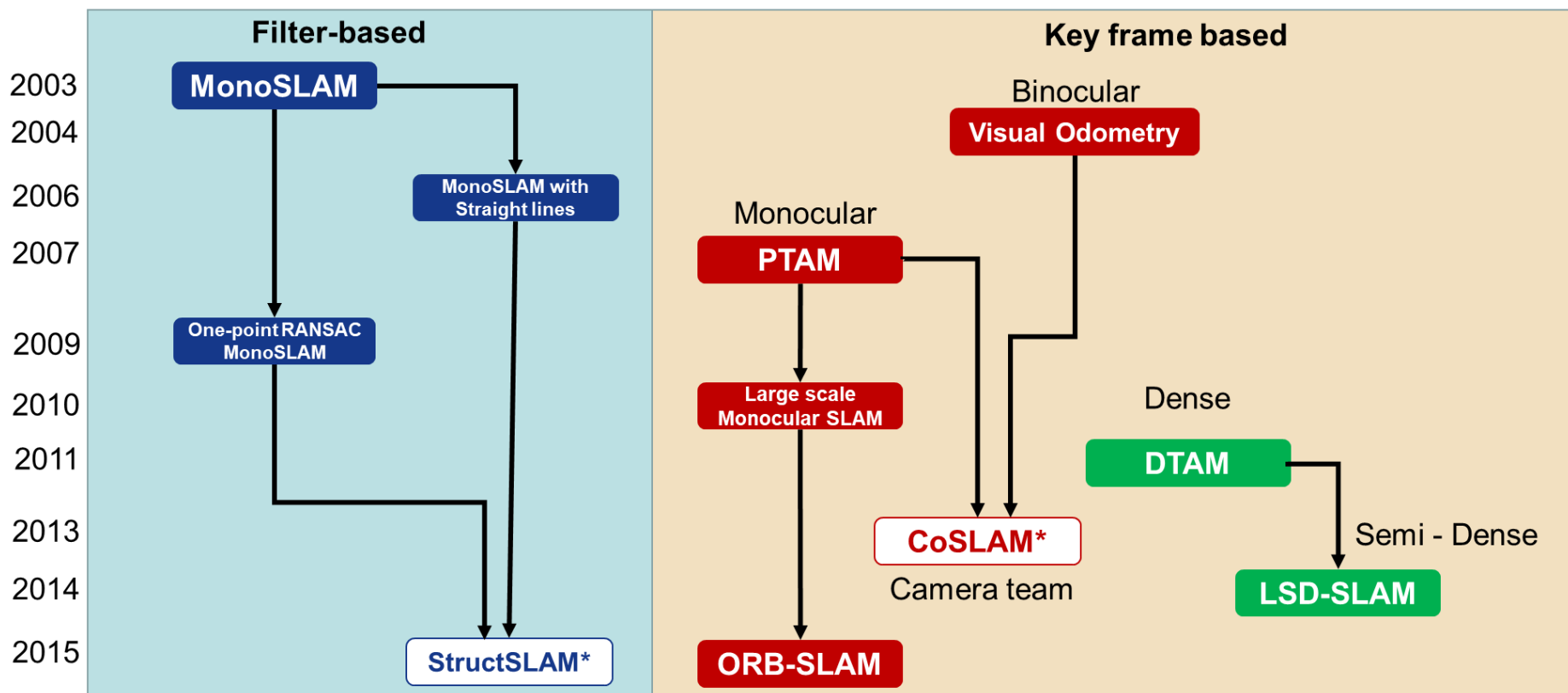
移动机器人 – Rawseeds (2014)



无人机 – Euroc (2016)



视觉SLAM发展历程

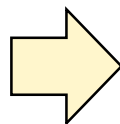


视觉SLAM发展现状



- 理论方法趋向成熟，走向实际应用场景

通用视觉SLAM方法



面向实际应用场景的高
度订制的视觉SLAM方
法

视觉SLAM应用场景



- 应用场景要素

- 环境

- 高速道路、城市峡谷、商场、居家环境、野外、森林、山洞

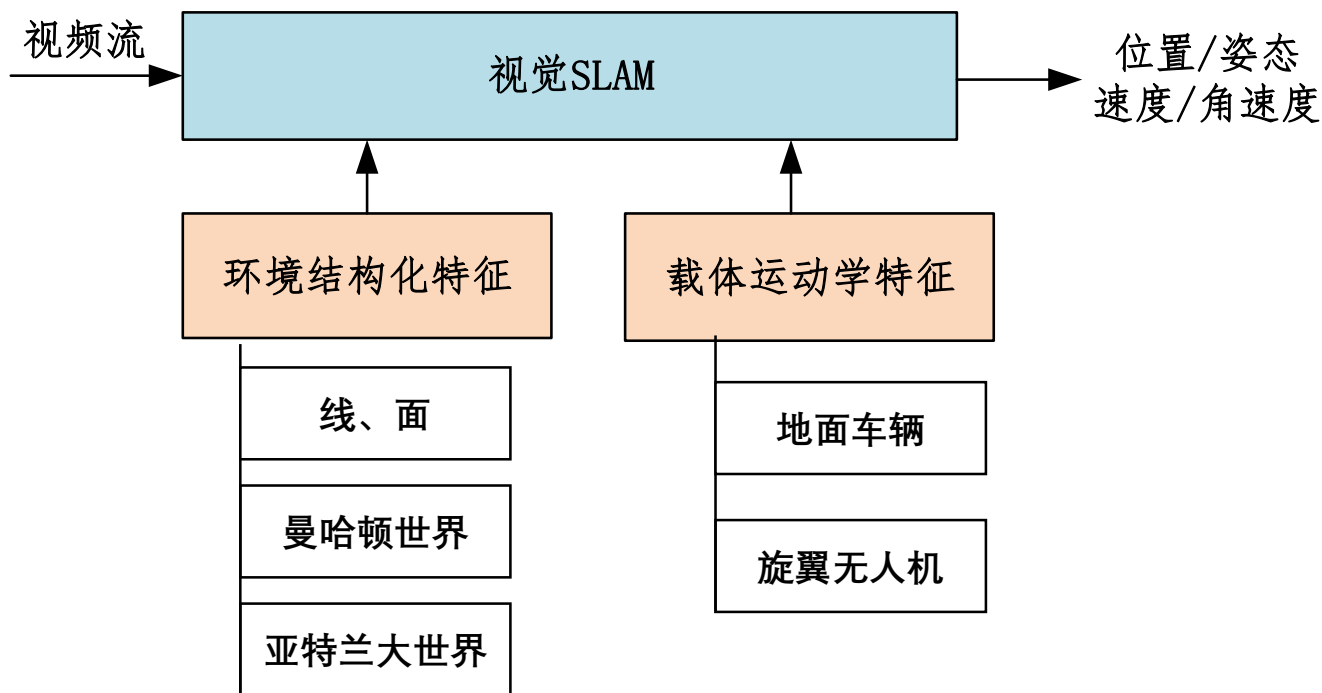
- 载体

- 二维 - 无人车、服务机器人
 - 三维 - 无人机

融合环境+载体特性的视觉SLAM



- 充分挖掘应用场景中的环境与载体特性，高度订制视觉SLAM系统





环境特性

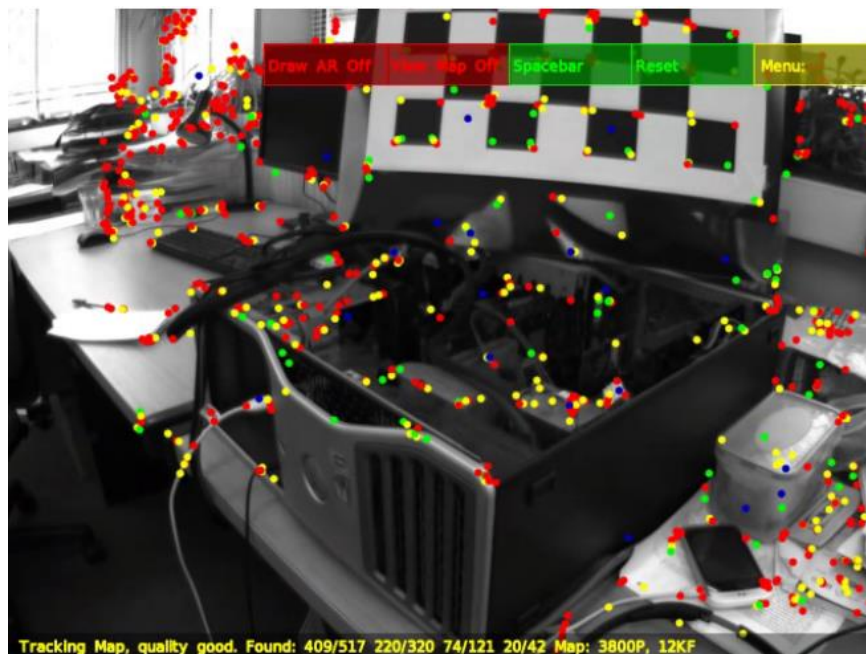
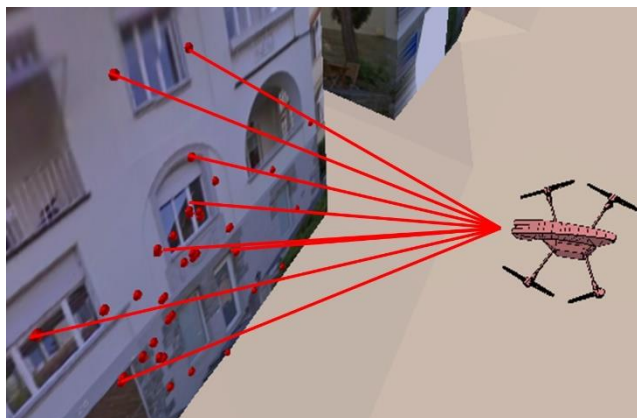


- 曼哈顿世界
- 亚特兰大世界 - （多曼哈顿世界）

典型视觉SLAM方法



- 绝大部分方案都基于点特征或者像素特征 - 图像中抽取特征点作为观测值，送入滤波器或者优化框架进行状态估计



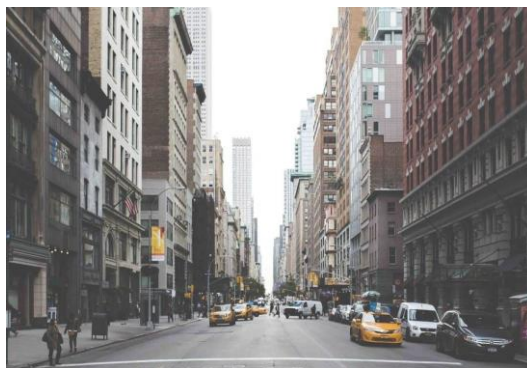
人造环境中的几何结构特性



- 不同于自然环境，人造环境中结构化特性明显



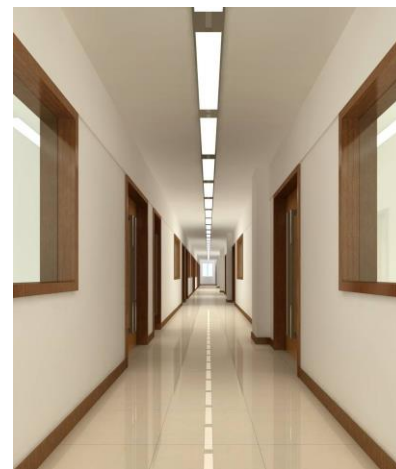
自然场景



街道场景

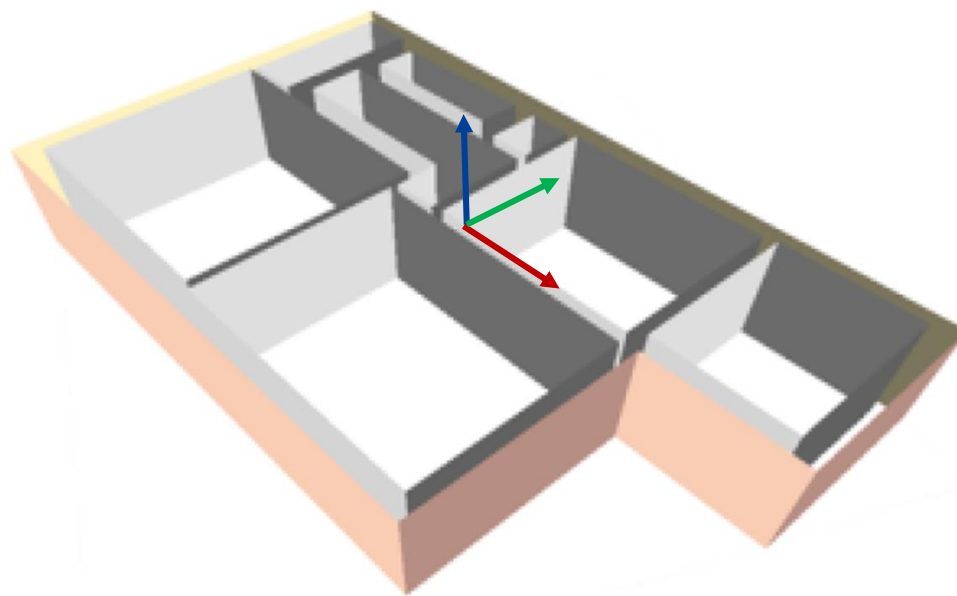


地下车库场景



室内场景

曼哈顿世界假设

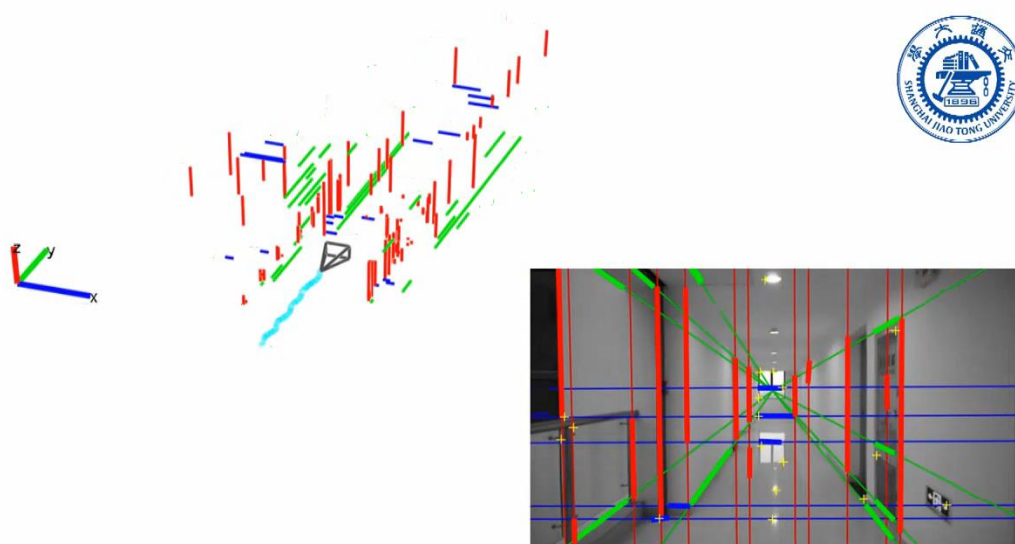


1. 线条特征丰富
2. 具有方向性，三个主方向： x, y, z

基于曼哈顿世界假设的视觉SLAM



- StructSLAM – 结构线条视觉SLAM
 - 在一些纹理不够丰富的室内场景，线条特征比点特征更加可靠
 - 线条特征的方向性提升了位姿状态的可观测性(observability)



StructSLAM: Visual SLAM with Building Structure Lines

Zhou, Huizhong, Danping, Zou, et al. "StructSLAM: Visual SLAM with building structure lines." *Vehicular Technology, IEEE Transactions on* 64.4 (2015): 1364-1375. - Special session for indoor localization

曼哈顿世界假设



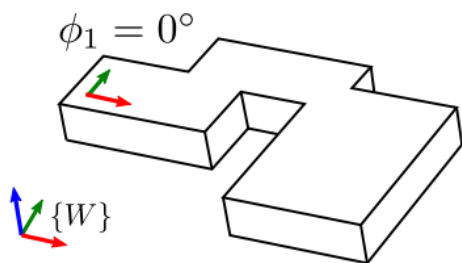
- 建筑存在多样性



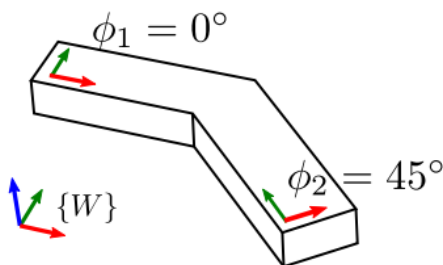
亚特兰大世界-多曼哈顿世界假设



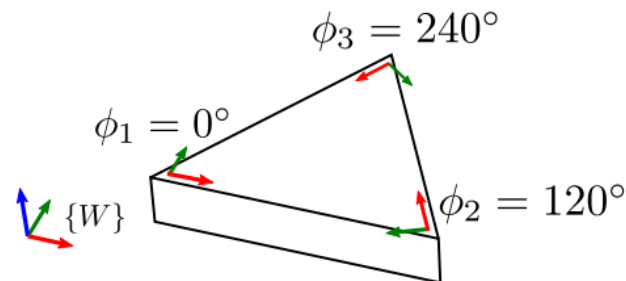
- 将一个复杂的人造环境用多个局部曼哈顿世界逼近
每个局部曼哈顿世界由一个水平方向(ϕ)确定



一个曼哈顿世界



两个曼哈顿世界



三个曼哈顿世界

基于亚特兰大世界假设的视觉SLAM



- 基于亚特兰大世界假设的视觉惯性SLAM:
StructVIO

- 主要贡献:

- 1. 提出使用**多个曼哈顿世界**叠加的模型, 处理更加不规则的场景
- 2. 采用**多状态滤波的视觉+惯性**紧耦合数学框架, 并对特征处理进行进一步改进
- 3. 一个室内外视觉惯性SLAM公开数据集



Zou, Danping, et al. "StructVIO: Visual-inertial Odometry with Structural Regularity of Man-made Environments." *arXiv preprint arXiv:1810.06796* (2018). (Accepted by IEEE Trans. on Robotics)

项目网址: <http://drone.sjtu.edu.cn/dpzou/project/structvio.html>

StructVIO - 技术细节



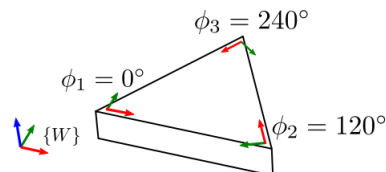
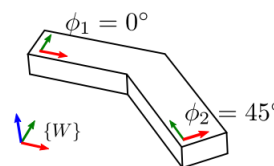
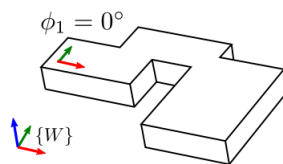
- 亚特兰大世界中结构线条表示
 - 线条参数表示法
 - 结构线条的投影方程
- 多状态紧耦合滤波框架设计
 - 状态定义
 - 多状态观测方程
- 滤波器前端
 - 结构线条初始化与三角化更新
 - 特征先验累积
 - 局部曼哈顿世界管理
 - 结构线条检测与跟踪
 - 结构线条分类
 - Outlier去除

坐标系定义



- 世界坐标系 $\{W\}$

- Z轴与重力反方向一致
- 坐标原点在起始点



- 局部曼哈顿世界 $\phi_i \in [0, \pi/2), i = 1, \dots, N$

- 相机坐标系 $\{C\}$

- Z轴方向与相机观察方向一致
- X、Y轴方向与图像x, y轴保持一致

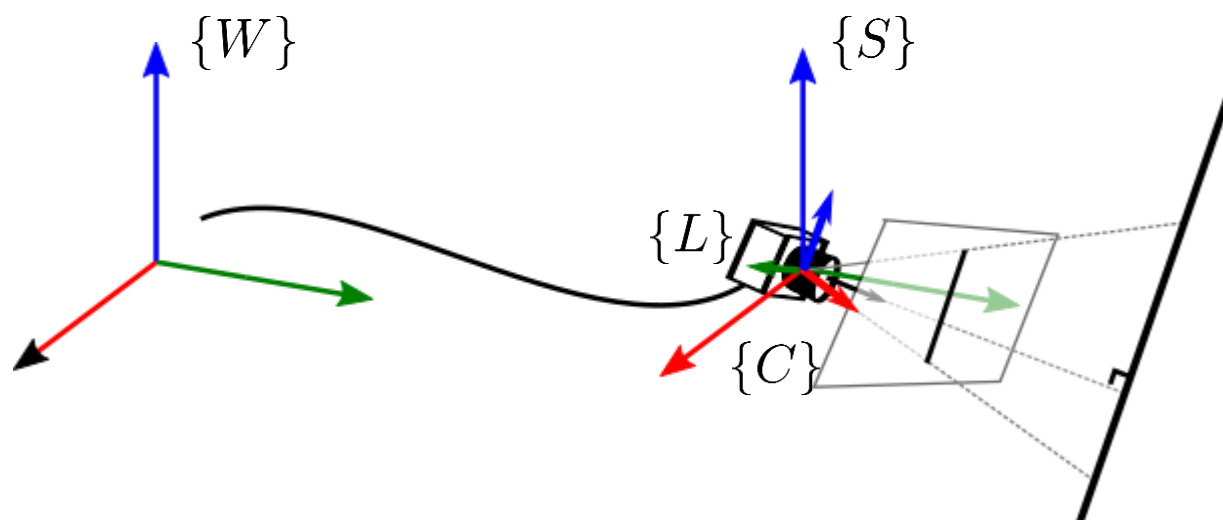
- 起始坐标系 $\{S\}$ - 滑动曼哈顿世界坐标系

- 原点与相机坐标系一致
- 坐标轴与局部曼哈顿世界一致

亚特兰大世界中结构线条表示



- 采用以相机为中心(Camera-centric)的特征表达方式



- 结构线条参数空间 - $\{L\}$ - 以相机光学中心为原点的坐标系, Z 轴方向与线条方向保持一致

亚特兰大世界中结构线条表示



- 参数空间 $\{L\}$ 中，一根结构线条可表示XY平面上的一个点表示：

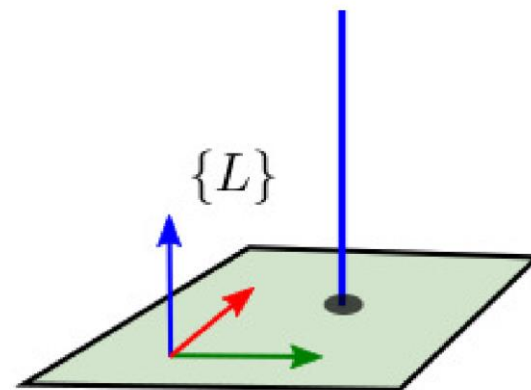
$${}^Ll_p = (a, b, 0)^T$$

- 为了达到更好的线性化效果，我们采用反深度表示 Ll_p

$${}^Ll_p = (\theta, \rho, 0)^T$$

$$\theta = \text{atan2}(b, a)$$

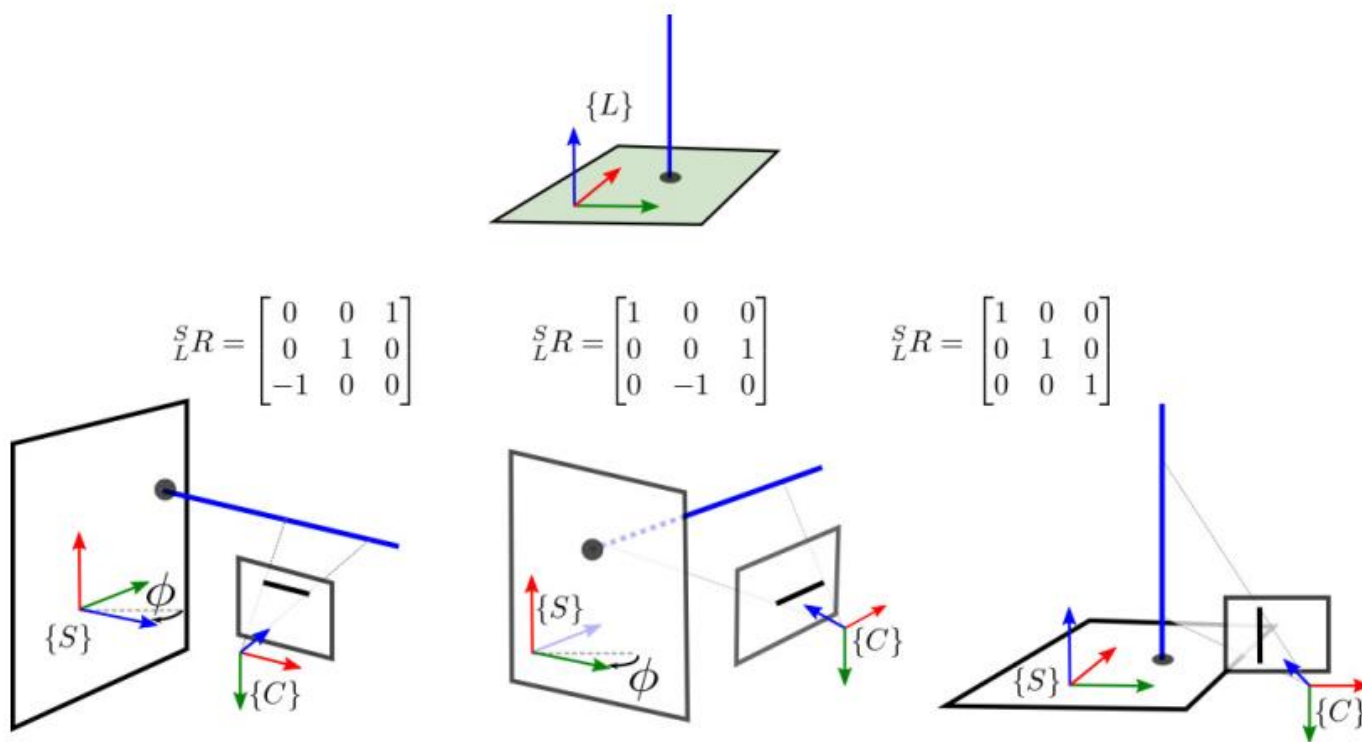
$$\rho = 1/\sqrt{a^2 + b^2}$$



亚特兰大世界中结构线条表示



- 通过旋转矩阵 ${}^S_L R$ 将参数空间的直线映射到局部曼哈顿世界的三个主方向：



亚特兰大世界下结构线条表示



- 通过水平旋转，将结构线条旋转从局部曼哈顿世界(ϕ_i)映射到全局世界坐标系

$${}^W_S R(\phi_i) = \begin{bmatrix} \cos(\phi_i) & \sin(\phi_i) & 0 \\ -\sin(\phi_i) & \cos(\phi_i) & 0 \\ 0 & 0 & 1 \end{bmatrix}$$

- 再通过世界坐标系 $\{W\}$ 到相机坐标系 $\{C\}$ 的变换，

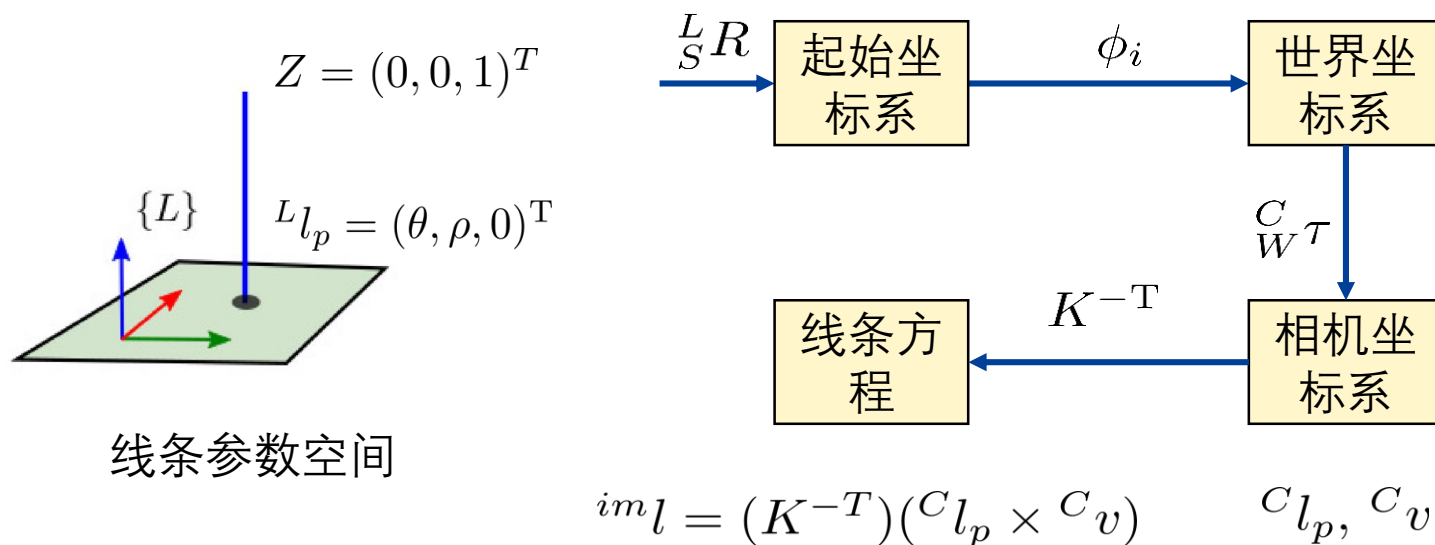
$${}^C_W \tau = ({}^C_W R, {}^C p_W)$$

转到当前相机坐标系。

结构线条的投影



- 将参数空间中的Z轴方向与交点分别进行坐标转换



结构线条的投影



- 结构线条投影方程：

$${}^{im}l = \Pi(l, \phi_i, {}^S_L R, {}^W_C \tau)$$

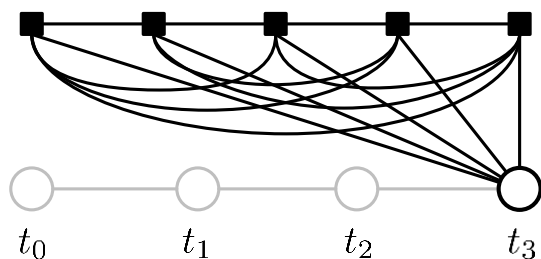
$${}^{im}l = \Pi(l, \phi_i, {}^S_L R, {}^I_C \tau, {}^W_I \tau)$$

- 其中 ${}^S_L R$ 为常量（在识别线条方向之后）
- 根据投影方程设计滤波器，同时更新 $l, \phi_i, {}^W_I \tau$

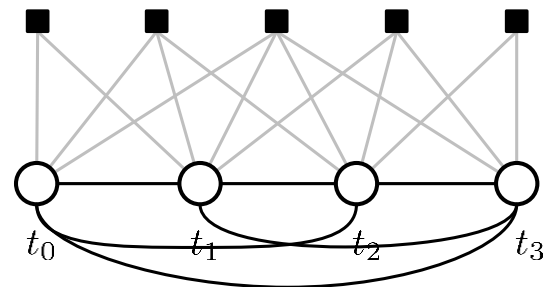
视觉+惯性的紧耦合方法



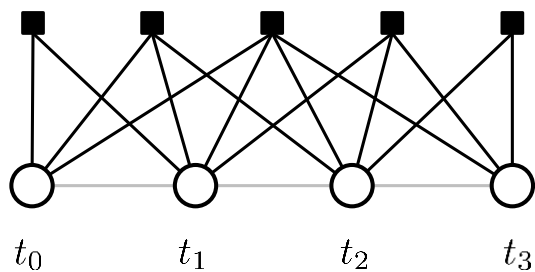
- EKF-SLAM方法、多状态约束方法和关键帧优化方法对比示意图，其中黑色方框表示特征点，圆圈表示在某时刻的相机状态



经典滤波方法



多状态约束滤波方法



关键帧优化方法

多状态约束紧耦合方法



- 相比经典滤波方法：

- 特征点三维坐标解耦，将特征点状态估算排除在滤波器之外，降低了状态维度，提升了处理大量特征点的能力。

- 相比关键帧优化方法：

- 逐帧更新和边缘化，充分利用了持续时间较短的特征点轨迹（机会轨迹）
- 可单条轨迹更新，增强了灵活性，方便控制计算峰值
- 达到相近精度情况下，多状态约束方法计算成本较低。

多状态约束紧耦合滤波



- 采用多状态约束滤波框架, 状态量定义如下

$$x_k = [x_{I_k}, {}^I_C \tau, \phi_1, \dots, \phi_N, \overset{W}{I_1} \tau, \dots, \overset{W}{I_M} \tau]$$

$$x_{I_k} = [\overset{W}{I_k} \tau, \overset{W}{v}_{I_k}, b_{g_k}, b_{a_k}] \quad \text{当前时刻IMU状态}$$

IMU与相机之间的相对位姿

局部曼哈顿世界方向

历史IMU位姿

多状态约束紧耦合滤波

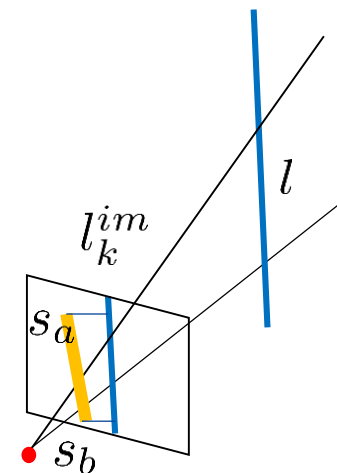


- **解耦** - 将观测模型从重投影误差变为位姿约束，消除滤波器对结构线条参数的依赖
- **重投影误差观测模型**:
 - k 时刻下结构线条 l 在图像中的投影:

$$l_k^{im} = \Pi(l, \phi, {}^S_L R, {}^W_C \tau)$$

- 图像上所观测的对应线段为 $s_a \leftrightarrow s_b$
- 重投影误差为两个短点到线条投影的直线距离 (带符号)

$$\begin{aligned} r_k &= D(s_a, s_b, l_k^{im}) \\ &= D(s_a, s_b, \Pi(l, \phi, {}^S_L R, {}^W_C \tau)) \end{aligned}$$



多状态约束紧耦合滤波



- EKF滤波的局部线性近似的观测模型

$$r_k = h_0 + J_l \delta l + J_\phi \delta \phi + J_{IC} \delta_C^I \tau + J_{WI_k} \delta_{I_k}^W \tau$$

- 同一根结构线条从1到M时刻所有的观测模型

$$r_1 = h_0 + J_l \delta l + J_\phi \delta \phi + J_{IC} \delta_C^I \tau + J_{WI_1} \delta_{I_1}^W \tau$$

...

$$r_k = h_0 + J_l \delta l + J_\phi \delta \phi + J_{IC} \delta_C^I \tau + J_{WI_k} \delta_{I_k}^W \tau$$

...

$$r_M = h_0 + J_l \delta l + J_\phi \delta \phi + J_{IC} \delta_C^I \tau + J_{WI_M} \delta_{I_M}^W \tau$$



$$z = H_l \boxed{\delta l} + H_\phi \boxed{\delta \phi} + H_{CI} \boxed{\delta_C^I \tau} + H_{WI} \boxed{[\delta_{I_1}^W \tau \cdots \delta_{I_M}^W \tau]}$$

线条
参数

局部曼
哈顿世
界方向

相机IMU
相对变换

1~M时刻的IMU
位姿

多状态约束紧耦合滤波



- 通过将残差 z 往 H_l 左零空间投影，消除对结构线条参数 δl 的依赖：

$$z = H_l \delta l + H_\phi \delta \phi + H_{CI} \delta_C^I \tau + H_{WI} [\delta_{I_1}^W \tau \cdots \delta_{I_M}^W \tau]$$



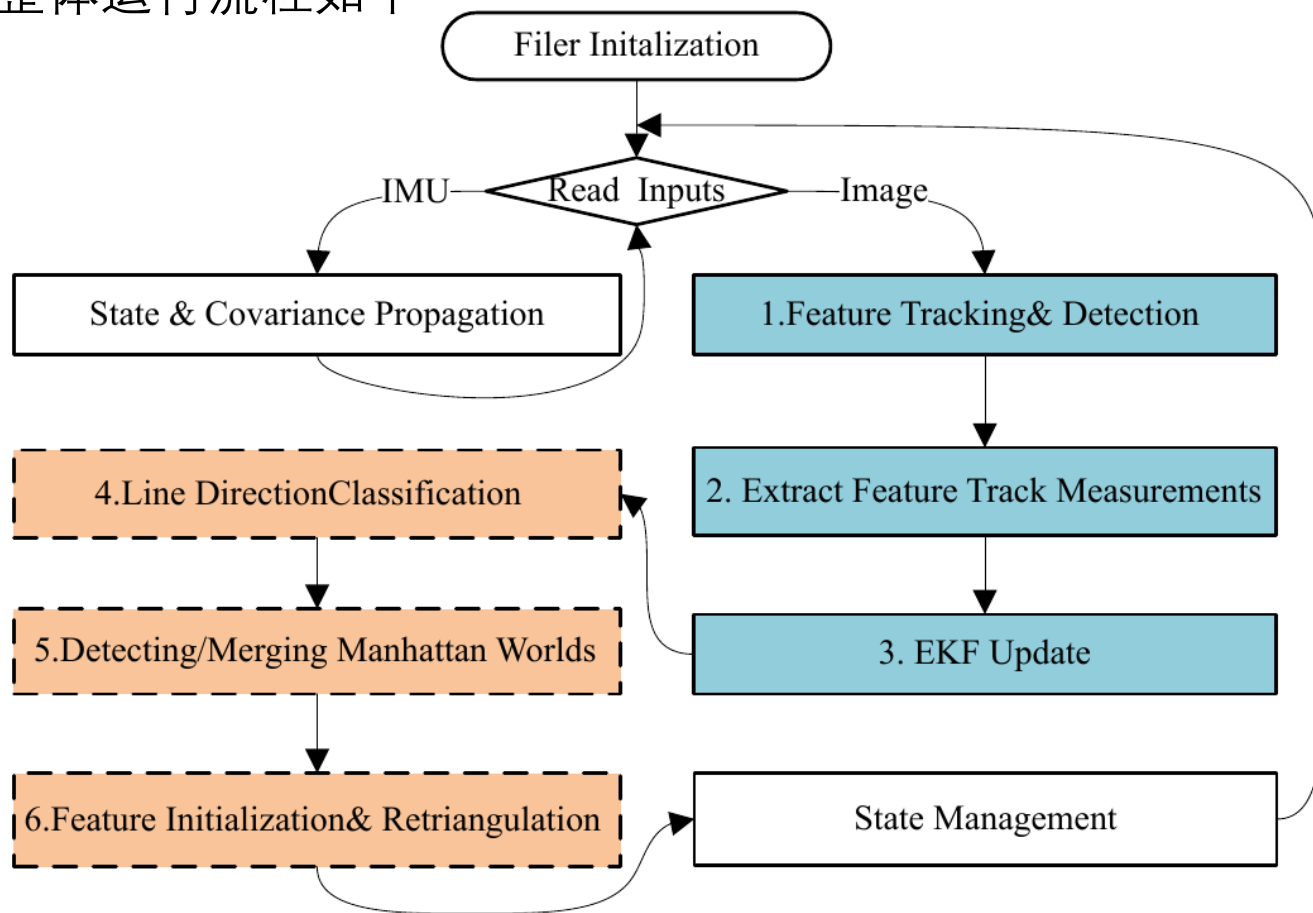
$$z^{(0)} = H_\phi^{(0)} \delta \phi + H_{CI}^{(0)} \delta^C x_I + H_{WI}^{(0)} [\delta_{I_1}^W \tau \cdots \delta_{I_M}^W \tau],$$

- 观测方程与
 - 1. 局部曼哈顿世界朝向
 - 2. IMU与摄像头的相对位姿
 - 3. IMU的历史位姿（该结构线条可见时间范围）

多状态约束紧耦合滤波

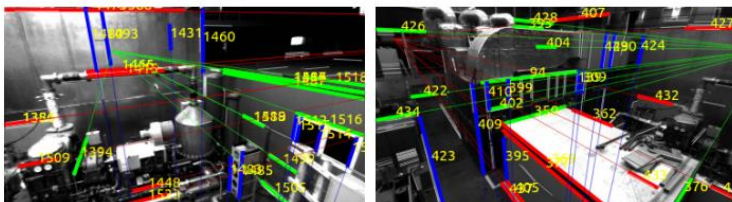


- 算法整体运行流程如下

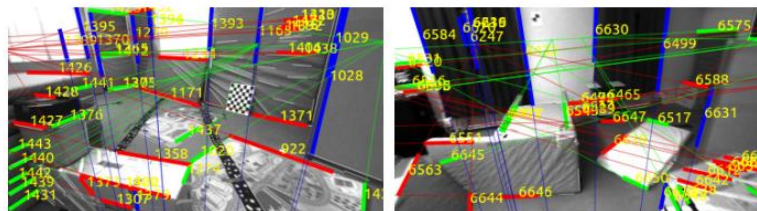




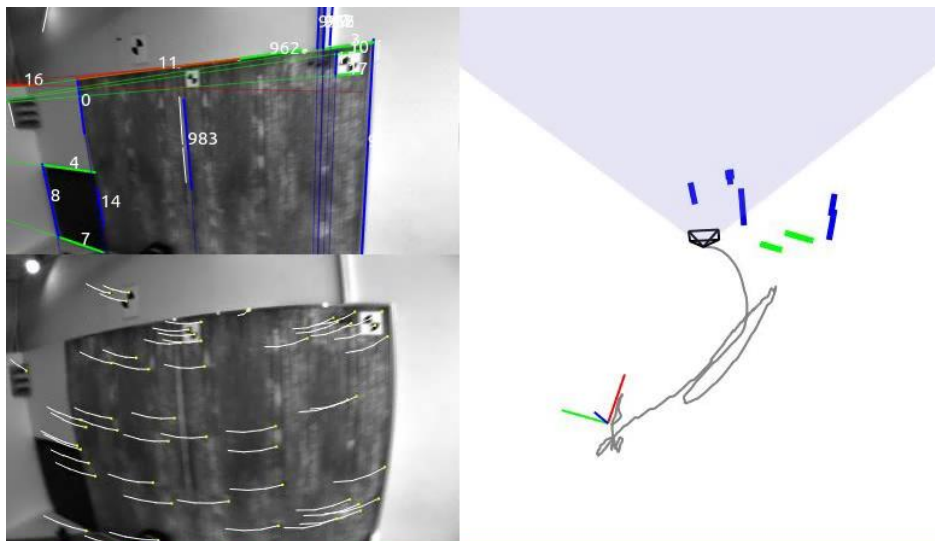
- 公开数据集测试 (Euroc)



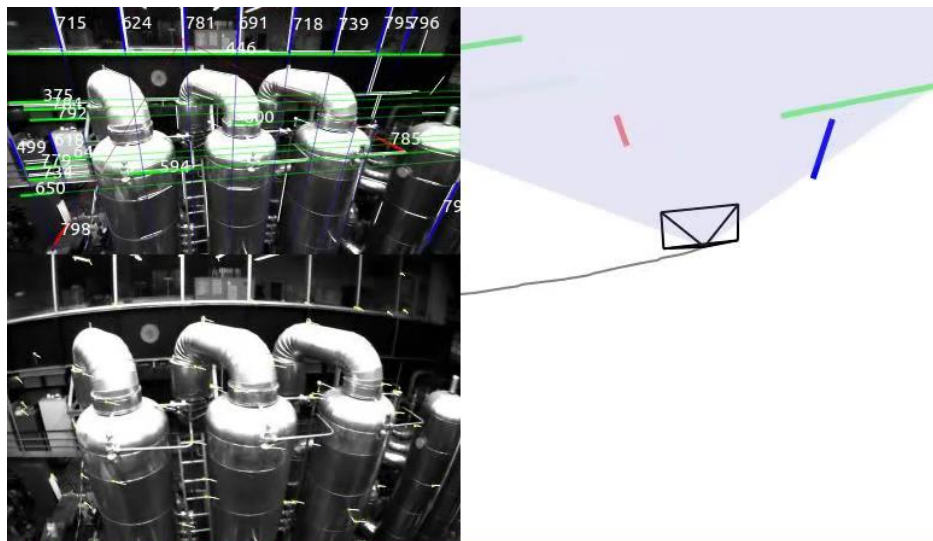
(a) Machine hall



(b) **Vicon room**



V2_03_difficult



MH_05_difficult

实验结果



■ 公开数据集测试 (Euroc)

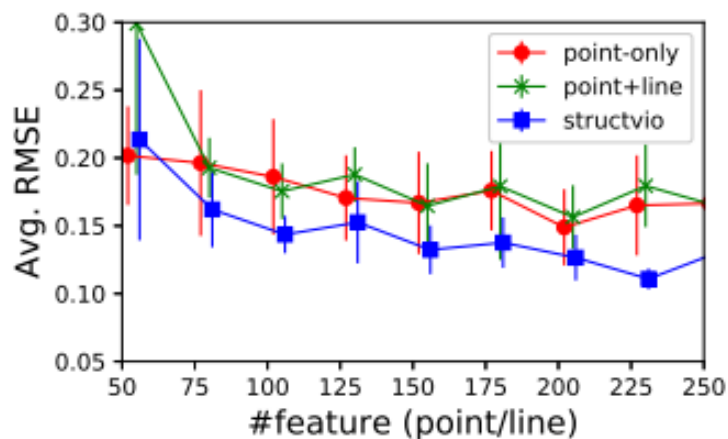
Dataset	OKVIS[5]		VINS[6](w/o loop)		StructVIO	
	RMSE	Max.	RMSE	Max.	RMSE	Max.
MH_01_easy	0.308	0.597	0.157 ²	0.349	0.079 ¹	0.251
MH_02_easy	0.407	0.811	0.181 ²	0.533	0.145 ¹	0.267
MH_03_medium	0.241	0.411	0.196 ²	0.450	0.103 ¹	0.271
MH_04_difficult	0.363	0.641	0.345 ²	0.475	0.130 ¹	0.286
MH_05_difficult	0.439	0.751	0.303 ²	0.434	0.182 ¹	0.358
V1_01_easy	0.076 ²	0.224	0.090	0.201	0.060 ¹	0.180
V1_02_medium	0.141	0.254	0.098 ¹	0.334	0.130 ²	0.260
V1_03_difficult	0.240	0.492	0.183 ²	0.376	0.090 ¹	0.263
V2_01_easy	0.134	0.308	0.080 ²	0.232	0.045 ¹	0.140
V2_02_medium	0.187	0.407	0.149 ²	0.379	0.066 ¹	0.157
V2_03_difficult	0.255 ²	0.606	0.268	0.627	0.110 ¹	0.231

RMSE-Rooted Mean Squared Error

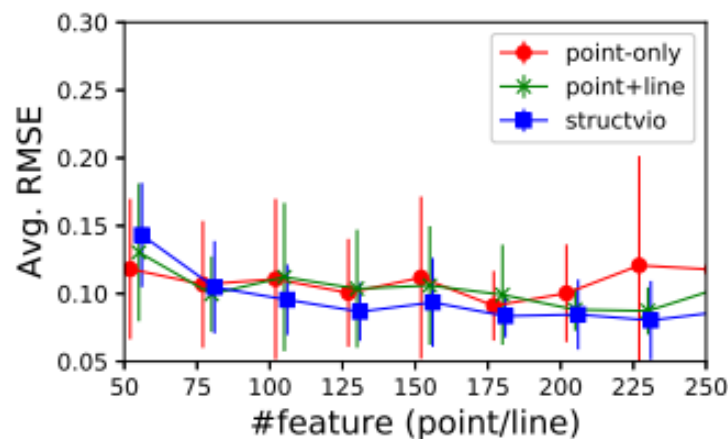
实验结果



- 公开数据集测试 (Euroc)
 - Machine hall有更强的结构性, StructVIO性能提升明显



(a) Machine hall

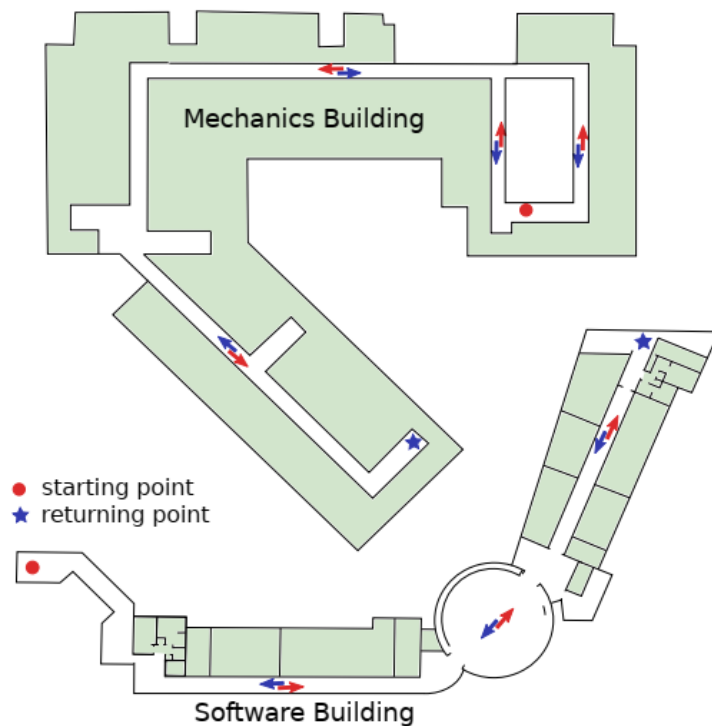


(b) Vicon room

实验结果



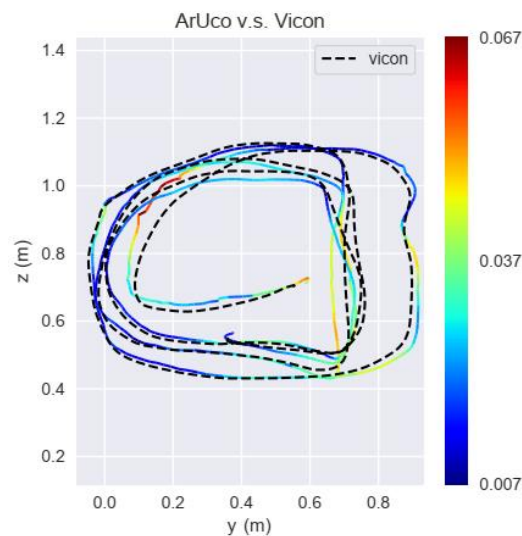
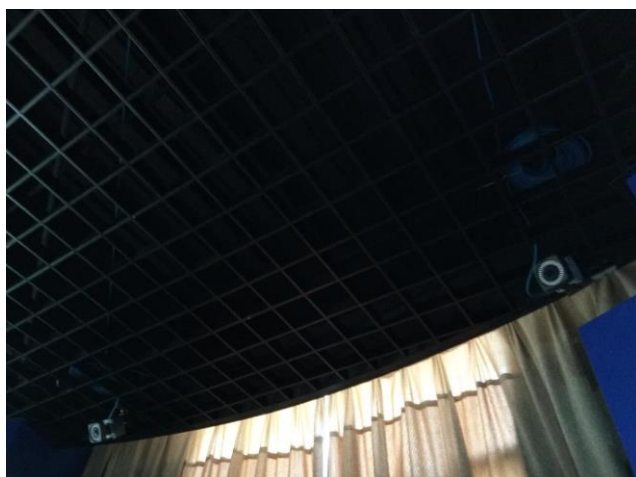
- 使用Google Tango平板自采数据集（16组），微电子楼、软件学院、机动学院、每组行走5~10分钟，覆盖室内外，光照变化剧烈。



实验结果



- 真值部分采用vicon动作捕获系统，部分采用二维码



起始时间段: s

结束时间段: e

对齐起始段: $T^* = \arg \min_T \sum_{t \in s} (\|T(p^t) - g_s^t\|^2)$

计算结束段RMSE与Max误差:

$$RMSE = \sqrt{\frac{1}{|e|} \sum_{t \in e} \|T(p^t) - g_e^t\|^2} \quad Max. = \max |T(p^t) - g_e^t|$$

实验结果



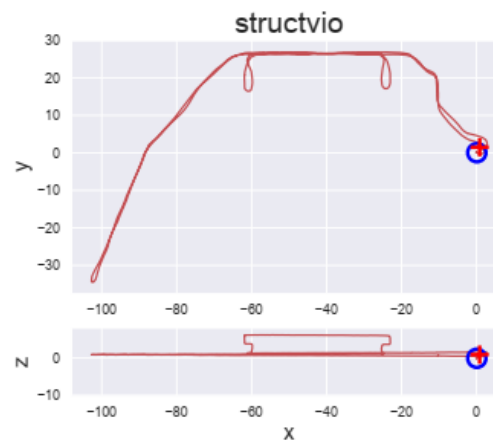
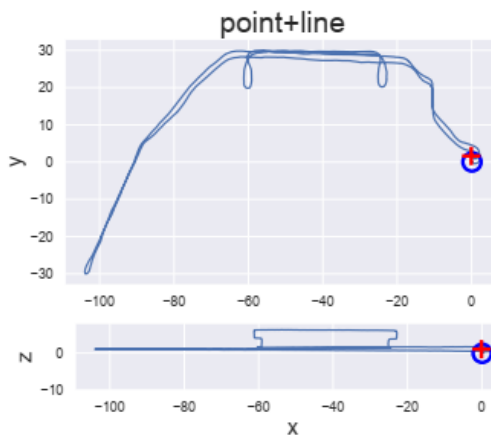
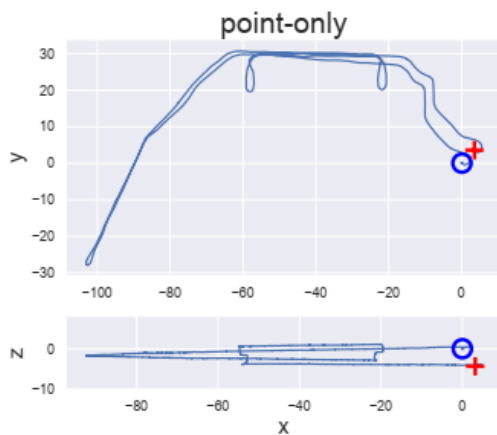
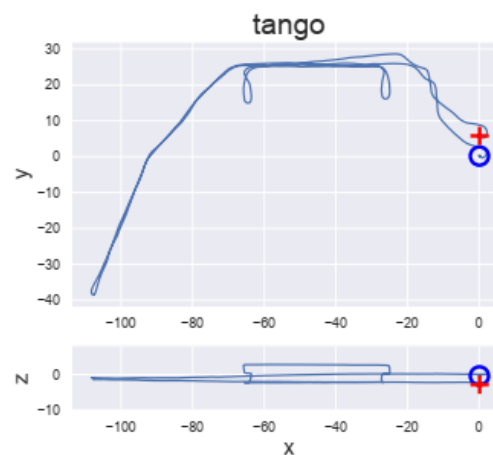
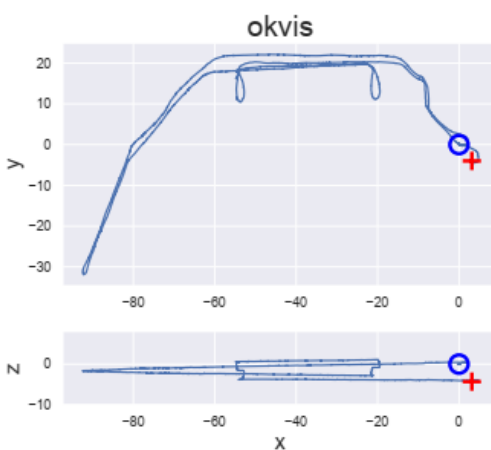
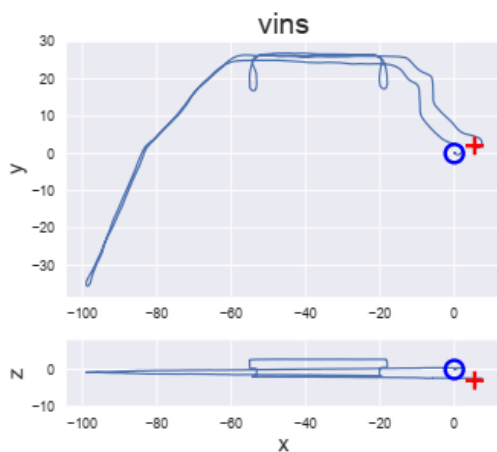
- 比较方法：OKVIS, VINS, Project Tango, Point-only, Point-line, StructVIO

Seq. Name	Traveling Dist. [m]	OKVIS ^[5]		VINS ^[6] (w/o loop)		Project Tango		Point-only		Point+Line		StructVIO	
		RMSE	Max.	RMSE	Max.	RMSE	Max.	RMSE	Max.	RMSE	Max.	RMSE	Max
Soft-01	315.167	6.702	9.619	4.861	6.688	5.715	8.181	2.153 ²	2.728	2.262	2.842	1.931 ¹	2.437
Soft-02	438.198	4.623	6.713	2.713	4.086	4.238	6.226	3.905	5.243	1.468 ²	2.026	1.429 ¹	1.984
Soft-03	347.966	4.505 ²	6.223	7.270	9.832	167.825	228.630	6.515	8.119	8.618	10.790	0.325 ¹	1.020
Soft-04	400.356	3.993	5.784	28.667	75.479	2.453	3.544	1.550 ¹	2.028	4.051	5.262	1.722 ²	2.241
Mech-01	340.578	3.627	4.745	2.452	3.260	1.948 ²	2.726	3.298	3.961	4.323	5.181	0.909 ¹	1.165
Mech-02	388.548	3.079	4.195	3.570	4.754	1.596 ²	2.217	1.663	2.108	2.317	2.927	0.779 ¹	1.022
Mech-03	317.974	3.875	5.324	4.682	9.113	4.220	5.781	2.384 ²	3.020	4.193	5.272	1.161 ¹	1.532
Mech-04	650.430	-	-	3.002	8.592	1.915	5.808	1.785	4.663	1.425 ²	3.729	0.742 ¹	1.940
MicroA-01	257.586	2.485	3.382	0.654 ²	1.148	45.599	61.058	2.849	3.505	2.189	2.721	0.642 ¹	1.225
MicroA-02	190.203	3.428	5.186	14.222	57.172	1.145 ¹	1.692	1.964	2.514	1.723 ²	2.207	2.089	2.661
MicroA-03	388.730	0.078	0.779	1.800 ¹	2.578	4.400	6.253	3.824	5.169	3.072	4.232	1.884 ²	2.892
MicroA-04	237.856	6.136	8.532	0.994 ²	1.765	55.200	75.318	2.056	2.897	2.406	2.879	0.350 ¹	0.448
MicroB-01	338.962	2.898	4.025	1.856 ²	2.944	38.197	50.572	7.084	8.576	7.337	8.913	1.477 ¹	1.902
MicroB-02	306.316	2.240	3.490	1.030 ²	2.431	5.660	8.652	2.521	3.714	3.197	4.610	0.470 ¹	0.799
MicroB-03	485.291	-	-	2.132	3.368	2.009 ²	2.960	6.490	8.978	4.507	6.301	0.445 ¹	0.675
MicroB-04	357.251	4.064	6.481	1.332 ²	2.068	13.962	22.028	5.078	7.713	1.977	3.074	0.473 ¹	0.777
Mean Drift Err.(%)		1.078%		1.410%		6.180%		0.957%		0.956% ²		0.292% ¹	
Median Drift Err.(%)		0.781%		0.538% ²		0.900%		0.559%		0.570%		0.176% ¹	

实验结果



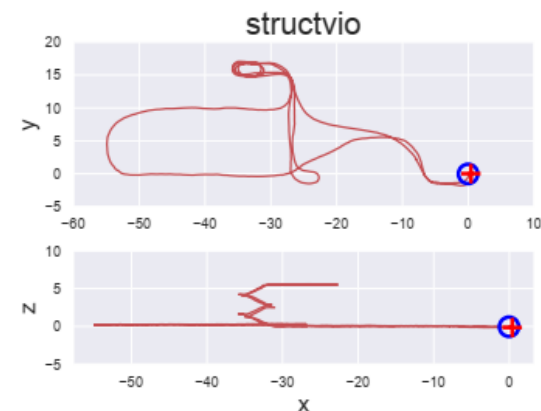
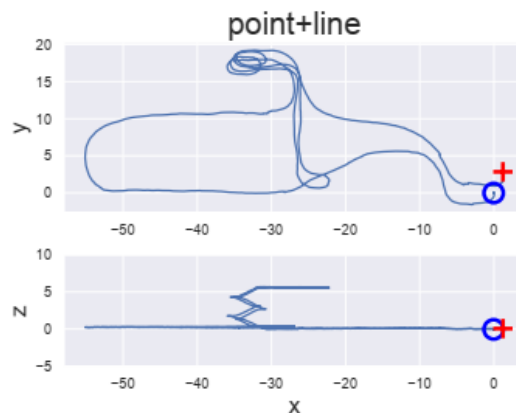
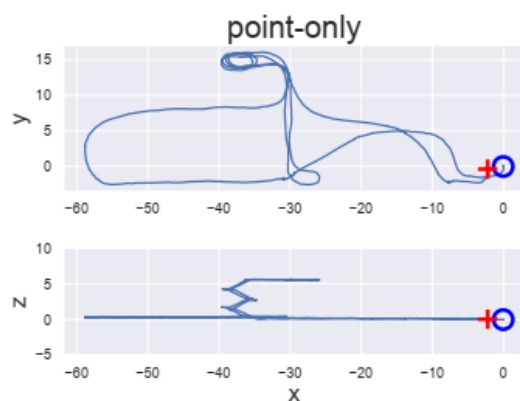
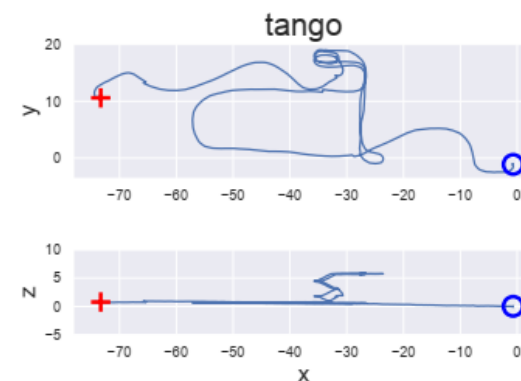
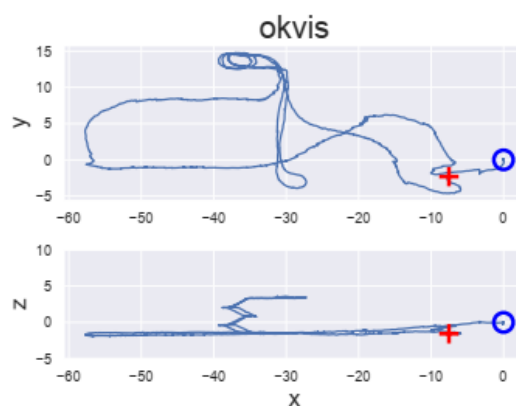
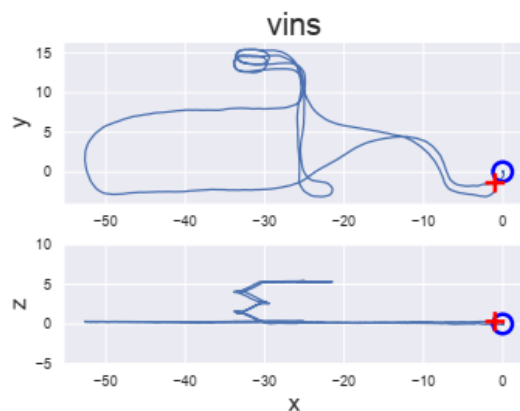
■ 软件学院场景(Soft-02)



实验结果



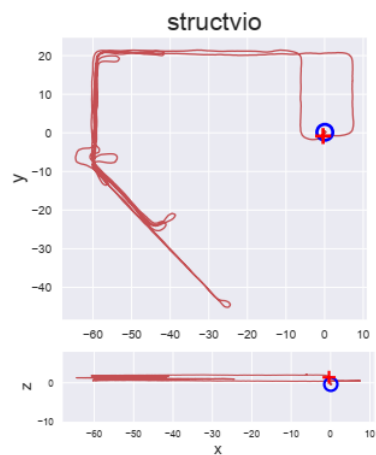
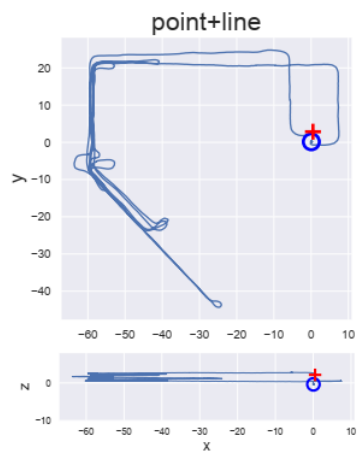
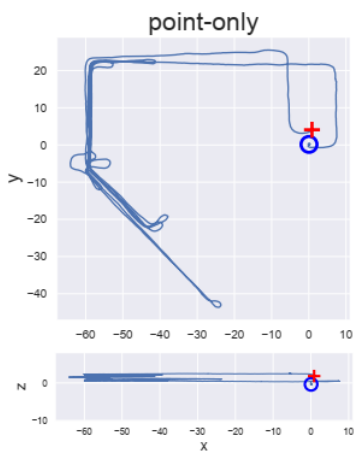
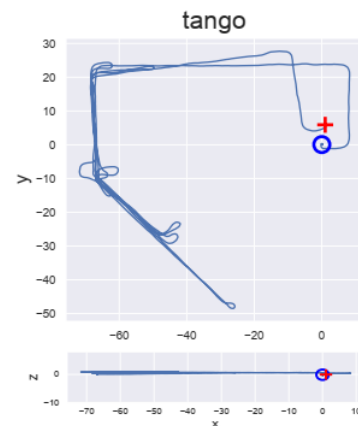
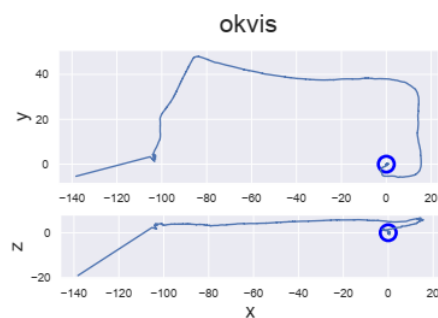
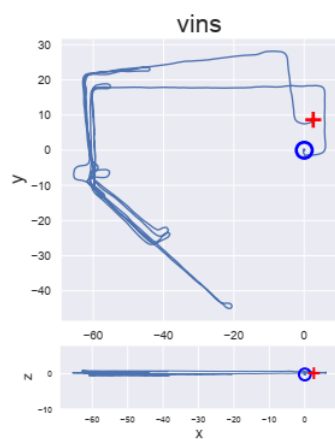
■ 微电子楼场景(MicroA-04)



实验结果



■ 机动学院场景 (Mech-04)

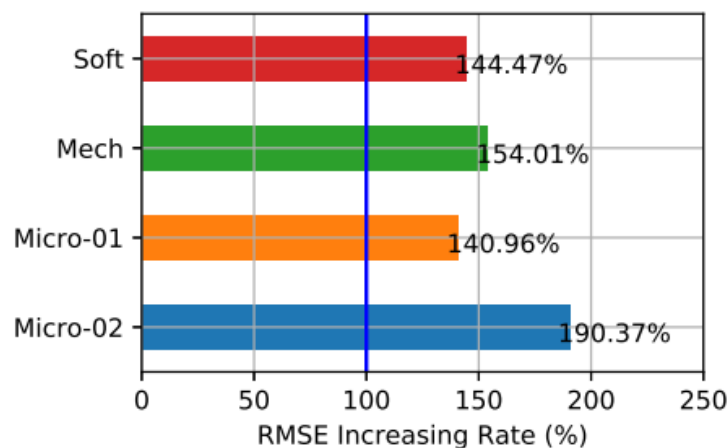


实验结果



■ 其它测试

Seq. Name	Atlata world		Manhattan world	
	RMSE	Max.	RMSE	Max.
Mech-01	0.909	1.165	1.144	1.524
Mech-02	0.779	1.022	1.286	1.061
Mech-03	1.161	1.532	2.029	1.211
Mech-04	0.742	1.940	1.822	2.193
Soft-01	1.931	2.437	2.896	2.397
Soft-02	1.429	1.984	3.092	4.149
Soft-03	0.325	1.020	3.352	4.236
Soft-04	1.722	2.241	3.178	4.120



曼哈顿世界vs多曼哈顿世界

未使用特征信息累积

- 论文地址 (<https://arxiv.org/abs/1810.06796>)
- 软件以及数据集已在网上公布

<http://drone.sjtu.edu.cn/dpzou/project/structvio/structvio.html>



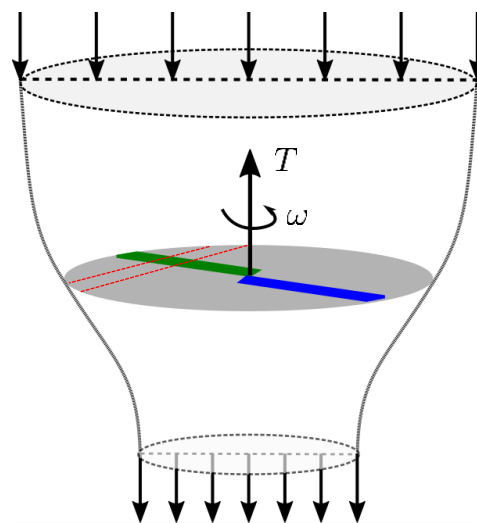
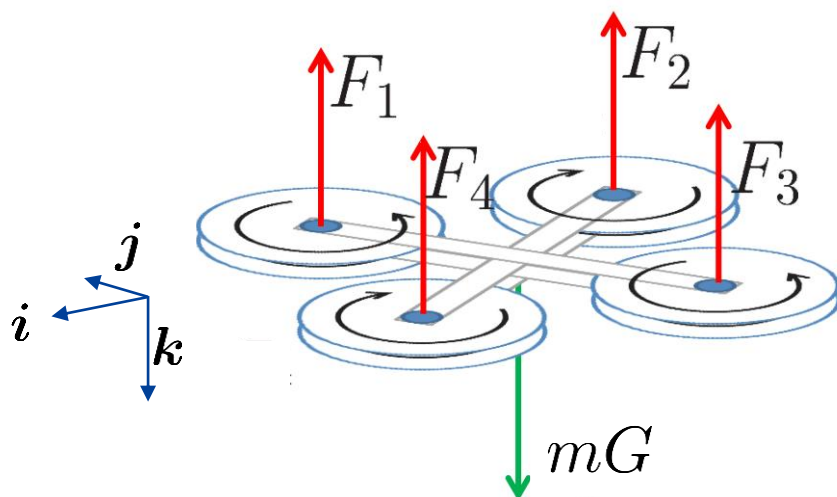
载体特性



- 车辆运动特性
 - 轮速计
 - 速度与水平朝向信息
 - 非完整性运动约束
 - 体坐标系下侧向与垂直方向速度为零
- 旋翼无人机空气动力学特性

旋翼无人机运动特性

- 旋翼无人机动力学原理

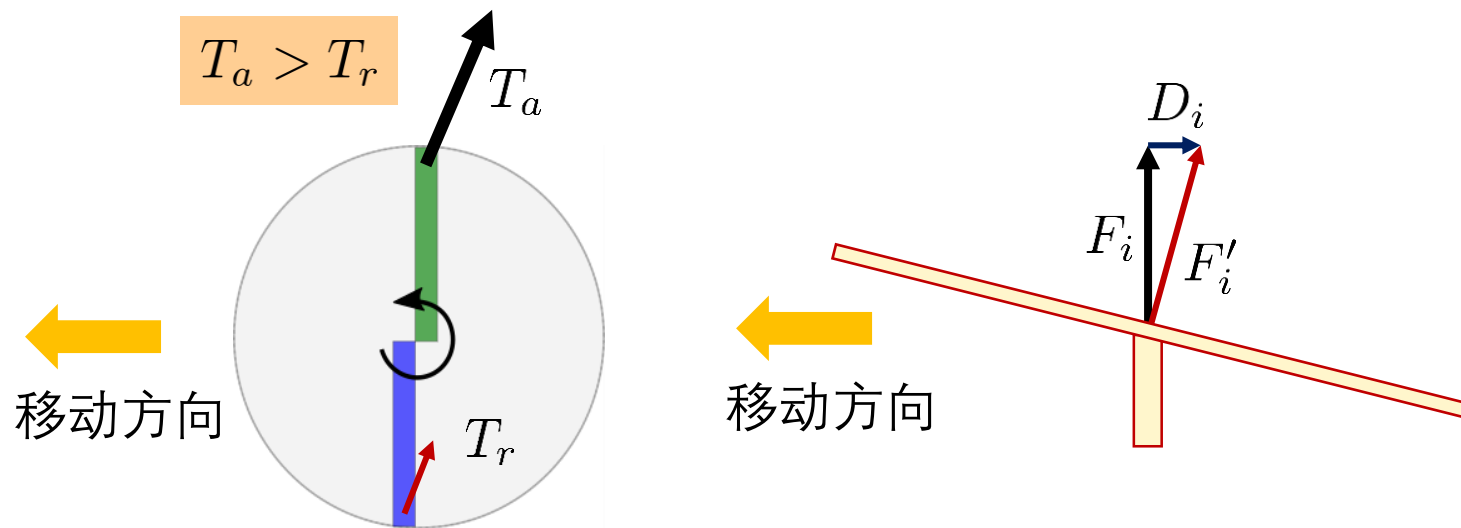


$$F_i = \alpha \omega_i^2$$

旋翼无人机运动特性



- Blade flapping现象 – 螺旋桨平移时，在螺旋桨平面收到额外的阻力



Wang, Rongzhi, Danping Zou, etc. "An aerodynamic model-aided state estimator for multi-rotor uavs." In *2017 IEEE/RSJ International Conference on Intelligent Robots and Systems (IROS)*, pp. 2164-2170. IEEE, 2017.

Sartori, Daniele, Danping Zou, etc. "A Revisited Approach to Lateral Acceleration Modeling for Quadrotor UAVs State Estimation." In *2018 IEEE/RSJ International Conference on Intelligent Robots and Systems (IROS)*, pp. 5711-5718. IEEE, 2018.

旋翼无人机运动特性



- 在体坐标系下(Body frame), 每个螺旋桨在螺旋桨平面所受的额外阻力与移动方向相反, 可由如下式子进行近似计算

$$D_i \approx -\lambda \omega_i \mathbf{v}^\perp$$

λ 常量
 ω_i 螺旋桨旋转角速度
 \mathbf{v}^\perp (重心) 移动速度在螺旋桨平面中的投影

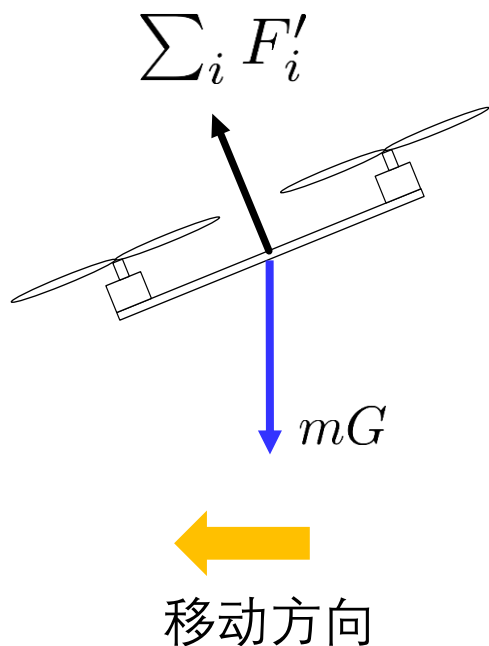
- 因此单个螺旋桨在无人机移动情况下所产生的力:

$$\mathbf{F}'_i = -\alpha \omega_i^2 \mathbf{k} - \lambda \omega_i \mathbf{v}^\perp$$

旋翼无人机运动特性

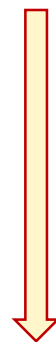


- 无人机整体受力



$$m\dot{\mathbf{v}} = \sum_i F'_i + mG$$

$$m\dot{\mathbf{v}} = \sum_i (-\alpha\omega_i^2 \mathbf{k} - \lambda\omega_i \mathbf{v}^\perp) + mG$$



世界坐标系转机体坐标系

$$\mathbf{v} = R\mathbf{v}^b$$

$$\dot{\mathbf{v}} = R\Omega_\times \mathbf{v}^b + R\dot{\mathbf{v}}^b$$

$$G = RG^b \quad (R = [\mathbf{i} \ \mathbf{j} \ \mathbf{k}])$$

$$\dot{\mathbf{v}}^b = \begin{bmatrix} G_x^b - \mu v_x - (\omega_y v_z^b - \omega_z v_y^b) \\ G_y^b - \mu v_y - (\omega_z v_x^b - \omega_x v_z^b) \\ G_z^b - a_z - (\omega_x v_y^b - \omega_y v_x^b) \end{bmatrix}$$

$$(a_z = \sum_i \frac{\alpha\omega_i^2}{m}, \mu = \sum_i \frac{\lambda\omega_i}{m})$$

旋翼无人机运动特性



- 加速计测量比力(Special force – 注：加速计实际测量的是非引力加速度，理想状态自由落体加速计测量为零)

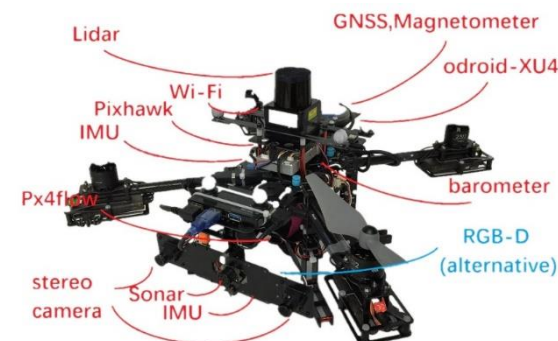
$$\dot{\mathbf{v}}^b = \begin{bmatrix} \cancel{G_x^b} - \mu v_x - (\omega_y v_z^b - \omega_z v_y^b) \\ G_y^b - \mu v_y - (\omega_z v_x^b - \omega_x v_z^b) \\ G_z^b - a_z - (\omega_x v_y^b - \omega_y v_x^b) \end{bmatrix}$$

$$\begin{aligned} \tilde{a}_x &\approx -\mu v_x \\ \tilde{a}_y &\approx -\mu v_y \\ \tilde{a}_z &\approx -a_z \end{aligned}$$

旋翼无人机运动特性



- 结合旋翼无人机空气动力学的状态估计方法



Wang, Rongzhi, Danping Zou, etc. "An aerodynamic model-aided state estimator for multi-rotor uavs." In *2017 IEEE/RSJ International Conference on Intelligent Robots and Systems (IROS)*, pp. 2164-2170. IEEE, 2017.

Sartori, Daniele, Danping Zou, etc. "A Revisited Approach to Lateral Acceleration Modeling for Quadrotor UAVs State Estimation." In *2018 IEEE/RSJ International Conference on Intelligent Robots and Systems (IROS)*, pp. 5711-5718. IEEE, 2018.

总结



- 根据应用场景深度订制是视觉SLAM未来研究方向之一
- 深入挖掘应用场景的环境与载体特性对提升视觉SLAM的性能有很大帮助
- 根据不同应用，仍需进一步研究：
 - 几何语义SLAM
 - 复杂运动模式回归预测

